

سازگاری حرارتی به عنوان شاخص نهایی سنجش کیفیت سایه‌اندازی ساخیان‌های خارجی نمونه مورد مطالعه: ساختمان مسکونی در شیراز

نیلوفر هاشمی^۱، شاهین حیدری^{۲*}، مرتضی رهبر^۳

^۱دانشجوی دکتری معماری، پردیس بین‌المللی کیش، دانشگاه تهران، کیش، ایران.

^۲استاد گروه معماری، دانشکده معماری دانشگاه هنرهای زیبا، دانشگاه تهران، تهران، ایران.

^۳استادیار گروه معماری، دانشکده معماری و شهرسازی، دانشگاه علم و صنعت ایران، تهران، ایران.

(تاریخ دریافت مقاله: ۱۴۰۰/۰۲/۲۲، تاریخ پذیرش نهایی: ۱۴۰۱/۰۶/۰۱)



چکیده

ساخیان‌های خارجی یکی از اجزای بسیار مهم و کاربردی در طراحی معماری پایدار بهویژه در اقلیم‌های گرم هستند که تأثیر زیادی بر کنترل مصرف منابع انرژی برای کاربردهایی چون بار حرارتی، نور روز و آسایش حرارتی دارند که به نظر می‌رسد کمتر تحقیقی در مورد تأثیر کیفیت سایه‌اندازی بر این عملکردها بهویژه بر سازگاری حرارتی انجام شده باشد. برای این منظور، این مقاله با کمک برداشت‌های میدانی از یک ساختمان مسکونی در شیراز و شبیه‌سازی و اعتبارسنجی آن وسپس تولید یک ساخیان پارامتریک خلاقانه باقابلیت تولید سایه‌اندازی‌های متتنوع و در نهایت با استفاده از تکنیک نمونه‌برداری LHS و همچنین استفاده از شبکه عصبی مصنوعی و بهینه‌سازی چندهدفه با الگوریتم NSGA III توانسته است نمونه‌های ساخیانی بهینه‌ای را تولید کند که در نهایت بر مبنای میزان سازگاری حرارتی طبقه‌بندی شده‌اند. این طبقه‌بندی نشان می‌دهد که در ساخیان‌های بهینه با وجود اینکه شاخص‌های نور روز در محدوده استاندارد هستند و می‌توانند ۵۳٪ تا ۷۳٪ در بار سرمایشی و ۸٪ تا ۱۰٪ نیز در بار گرمایشی صرفه‌جویی ایجاد کنند اما مدت زمان تأمین آسایش حرارتی توسط آنها بین ۴ تا ۸ ماه متغیر است که این خود نشان‌دهنده اهمیت تأثیر کیفیت ساخیان‌ها بر آسایش حرارتی است.

واژه‌های کلیدی

سیستم ساخیان پارامتریک، تکنیک نمونه‌برداری LHS، شبکه عصبی مصنوعی، بهینه‌سازی چندهدفه، سازگاری حرارتی

* مقاله حاضر برگرفته از رساله دکتری نگارنده اول با عنوان «بررسی کیفیت سایه‌اندازی ساخیان‌های خارجی با رویکرد سازگاری حرارتی در فضاهای

مسکونی و تأثیر آن بر عملکردهای ساختمان در اقلیم گرم و خشک شیراز» می‌باشد که با راهنمایی نگارندهان دوم و سوم ارائه شده است.

** نویسنده مسئول: تلفن: +۹۸-۰۶۱-۱۱۲۴۹۶، نامبر: ۰۲۱-۶۶۴۹۰۱۶۱، E-mail: shheidari@ut.ac.ir

مقدمه

گرم و یا بسیار سردی در داخل ساختمان ایجاد شود، فضا یا بسیار روشن و دارای مشکلات خیرگی شود و یا تاریک و ناکارآمد شود، و در نهایت مصرف انرژی افزایش یابد. سایه‌اندازی بر روی ساختمان، از آنجا که باعث حذف تابش مستقیم و کاهش دمای تشعشعی در داخل فضایی شود می‌تواند به طور مستقیم آسایش حرارتی را تحت تأثیر قرار دهد. از سوی دیگر در اکثر تحقیقات، اعاد سایبان به مساحت پنجره محدود می‌شود و با اینکه سایه‌اندازی بر روی بخش صلب پوسته‌ها بسیار حائز اهمیت است و باعث کاهش دمای سطح پوسته و در نتیجه کاهش انتقال حرارت از پوسته می‌شود، اما این موضوع از سوی محققین و طراحان نادیده گرفته می‌شود. از این‌رو هدف این مقاله مطالعه تأثیر سایه‌اندازی کل نمای ساختمان بر عملکردهای ساختمانی شامل بار حرارتی، نور روز و آسایش حرارتی به صورت همزمان است که به دنبال آن کیفیت سایه‌اندازی نیز مورد تحلیل قرار می‌گیرد.

تمام مدل‌ها پیدا کند و به این ترتیب صرفه‌جویی انرژی به میزان ۸۰٪ را گزارش نموده است. از آنجا که کوچکترین تغییر در هر کدام از متغیرهای سایبان می‌تواند تأثیرات متفاوتی بر روی نور روز ایجاد کند، بنابراین تحقیقات بسیار زیادی در مورد تأثیر سایبان‌های خارجی بر روی شخص‌های روش‌نایابی مانند UDI، sDA، ASE، DGI (Eltawee et al., 2017; Wagdy et al., 2016; Mangkuto et al., 2021; Tabadkani et al., 2019; Samadi et al., 2020; Yi, 2019; Mangkuto et al., 2018; da Fonseca et al., 2013; Arbabi et al., 2021; Lim et al., 2012 (ab)). در این تحقیقات از روش‌های متعددی بهره گرفته شده است. یکی از محبوب‌ترین روش‌ها استفاده از بهینه‌سازی‌های تک‌هدفه و یا چند‌هدفه است که با انواع الگوریتم‌های تکاملی قابل انجام است. برای مثال (Yi, 2019) یک سری تیغه‌های افقی را کمک یک الگوریتم پارامتریک بر اساس عمق و زاویه و فاصله آنها به تیغه‌های موج تبدیل نموده و سپس با استفاده از الگوریتم تکاملی چند‌هدفه برای دستیابی به بهترین sDA و ASE و بر اساس معیارهای زیبایی‌شناسی، میزان بازشوهای میان تیغه‌های موج را بهینه نموده است (Arbab et al., 2021). نیز با به کارگیری هوش مصنوعی و مقایسه اعتبار و دقت چندین روش کاربردی ماشین لرنینگ و شبکه عصبی مصنوعی توانسته است تأثیر متغیرهای سایبان‌های لور (مانند: تعداد، عمق، زاویه، فاصله بین تیغه‌ها و انعکاس نور از تیغه‌ها) را بر روی شدت روش‌نایابی فضای داخلی بررسی نموده و گزارش داده است که نتایج مربوط به شبکه عصبی نسبت به سایر الگوریتم‌های ماشین لرنینگ دقیق‌تر و معتبرتر هستند. از آنجا که متغیرهای سایبانی همزمان هم بر بر حرارتی و هم بر کیفیت نور روز تأثیر می‌گذارند بنابراین بررسی همزمان این دو هدف، موضوع تحقیقات بسیار زیادی قرار گرفته است (Kirimtat et al., 2016; Manzan et al., 2017; Taveres-Cachat et al., 2019; Kirimtat et al., 2019; Toutou et al., 2018; Fang et al., 2019; Mandalaki et al., 2012 (al.)). در این تحقیقات تلاش شده تا بهینه‌ترین مقدار بر متغیرهای سایبانی را بر اساس حداقل مصرف انرژی و استانداردهای نور روز پیدا کنند. برای مثال (Kirimtat et al., 2019) با کمک الگوریتم بهینه‌سازی چند‌هدفه NSGA-II، یک سایبان خارجی

صنعت ساختمان‌سازی با توجه به بحران‌های زیستمحیطی در دهه‌های اخیر به یکی از نگرانی‌های اصلی بشر منجر شده است (Hosain et al., 2018; Pal et al., 2017) و به همین دلیل آینه‌نامه‌ها و برنامه‌ریزی‌های زیادی برای مدیریت این صنعت در راستای پایداری و هماهنگی با محیط زیست تدوین شده است (Marszal et al., 2011) که از این میان می‌توان به آینه‌نامه‌ها و ضوابط مربوط به ساختمان‌های صفر انرژی اشاره نمود (Pulido-Arcas et al., 2020). سایبان‌های خارجی یکی از عناصر معماری پایدار هستند که می‌توانند با کنترل مناسب نفوذ تابش، عملکردهای ساختمانی بهویژه بار حرارتی، نور روز و آسایش حرارتی را بهبود و ارتقاء بخشدند (Hall, 2010). طراحی یک سایبان بهینه و کارآمد بسیار حساس است زیرا تغییر اندکی در ابعاد آن می‌تواند تابش مستقیم بسیار زیادی وارد فضا کند و یا مانع از دریافت کافی تابش شود که در هر حال موجب می‌شود تا شرایط حرارتی بسیار

پیشینه پژوهش

این مقاله تأثیر سایبان‌های ثابت خارجی را بر عملکردهای ساختمانی مورد مطالعه قرار داده است. این مرور کوتاه بر تحقیقات گذشته، بر سه موضوع اصلی تمرکز دارد. نخست اینکه در هر تحقیق چه متغیرهای مستقلی مربوط به سایبان در نظر گرفته شده است. ثانیاً تأثیر این متغیرها بر کدام عملکردهای ساختمانی مورد بررسی قرار گرفته است و در نهایت اینکه بررسی این تأثیرات با چه روشی انجام شده است. جدای از اینکه نوع سایبان چه باشد، یک سری متغیرهای سایبانی ثابتی وجود دارند که تقریباً همه تحقیقات به آنها پرداخته‌اند. برای مثال مهم‌ترین متغیرهای هندسی سایبان در سایبان‌های تیغه‌ای لور مانند عبارت از تعداد تیغه‌ها، عمق تیغه‌ها، زاویه چرخش هر تیغه به صورت مستقل و یا واحد، و فاصله تانمای ساختمان هستند و یا مثلاً در سایبان‌های تیغه‌ای افقی و عمودی، عمق تیغه‌ها و تعداد آنها اهمیت پیدا می‌کند. حتی در سایبان‌های پارامتریک و یا بدون شکل نیز متغیرهایی مانند تعداد، عرض، محل قرارگیری در راستای عمودی، زاویه چرخش در دو آكس افقی و عمودی، و جایه‌جایی گوشش‌های هر تیغه در محور افقی و عمودی به عنوان متغیرهای مستقل اصلی تحقیق محسوب می‌شوند.

با توجه به ثابت‌بودن متغیرهای مستقل سایبانی، آچه تحقیقات مختلف را اساساً از هم تفکیک می‌کند، نوع عملکردها و یا متغیرهای وابسته‌ای هستند که بهواسطه تغییر متغیرهای مستقل سایبانی مورد توجه قرار می‌گیرند. برای مثال بسیاری از محققین (Chua et al., 2010; Cho et al., 2014; Valladares-Rendon et al., 2014; Jayathissa et al., 2017; Valladares-Rendon et al., 2017; Liu et al., 2019; Sherif et al., 2012; Yeon et al., 2019; Baldinelli, 2009) تأثیر متغیرهای سایبانی را فقط بر روی بار حرارتی و مصرف انرژی بررسی کرده‌اند و عمده‌تاً نیز از روش‌های شبیه‌سازی و مقایسه‌ای استفاده نموده‌اند که از این میان (Jayathissa et al., 2017) با تلفیق پانل‌های فتوولتائیک بر روی پانل‌های مربع‌شکل کوچک و با در نظر گرفتن چرخش مستقل هر پنل در دو محور افقی و عمودی، با شبیه‌سازی همه حالات ممکن توانسته است بهترین مدل را از میان

تأمین حداکثری سازگاری حرارتی در طول سال، برای سایبان‌ها کیفیت قائل می‌شود و آنها را بر این اساس تفکیک می‌کند و بهنوعی سازگاری حرارتی را به عنوان مهم‌ترین شاخص برای ارزیابی کیفیت سایه‌اندازی سایبان‌ها مورد توجه قرار می‌دهد.

روش‌شناسی

این مقاله با به کارگیری ترکیبی از روش‌های مطالعات میدانی، شبکه عصبی مصنوعی و بهینه‌سازی توانسته است اعتبار و دقت نتایج و سرعت محاسبات را افزایش دهد. بدین منظور در گام نخست یک ساختمان مسکونی در شهر شیراز جهت انجام مطالعات میدانی انتخاب شده است. پارامترهای دمای هوا و رطوبت نسبی در چند زون مختلف از این پژوهه اندازه‌گیری شده‌اند و سپس یکی از زون‌ها مورد شبیه‌سازی کامپیوتری قرار گرفته و نتایج شبیه‌سازی با نتایج مطالعات میدانی اعتبار سنجی شده است. سپس جهت انجام مطالعه تأثیر سایه‌اندازی‌های مختلف، یک سایبان پارامتریک با قابلیت تولید محدوده بسیار وسیعی از حالت‌های مختلف سایبان و با میزان سایه‌اندازی‌های بسیار متعدد طراحی و بر روی نمای خارجی زون مذکور شبیه‌سازی گردیده است. سپس با تکنیک LHS یک نمونه‌پرداری از حالت‌های مختلف سایبان به صورت کاملاً پخش و یکنواخت انجام و شبیه‌سازی شده است. سپس داده‌های ورودی و خروجی از شبیه‌سازی، توسط شبکه عصبی آموزش داده شده‌اند و در نهایت یک امولاتور تولید و جهت انجام بهینه‌سازی مورد استفاده قرار گرفته است. در پایان تأثیر هر کدام از سایبان‌ها بهینه بر سازگاری حرارتی بررسی و تحلیل شده است.

۱- مطالعات میدانی

جهت تأیید اعتبار نتایج شبیه‌سازی، پارامترهای محیطی در یک ساختمان مسکونی در شیراز (تصویر ۳) با اقلیم گرم و خشک اندازه‌گیری شد و به عنوان معیاری برای اعتبار سنجی شبیه‌سازی‌ها مورد استفاده قرار گرفت. بررسی‌های بسیار زیادی در فضاهای مختلف این ساختمان، در طبقات مختلف و در جبهه‌های متفاوت، در طول تابستان ۱۳۸۸ انجام شد. آنچه در این مقاله ارائه گردیده است تنها بخش کوچکی از این مطالعات می‌باشد. زون مورد مطالعه، در این مقاله، با ابعاد ۳.24m × 7.8m در راستای ۴۹ درجه جنوب غربی (۲۲۹) درجه شمالی) واقع شده است که در همین راستا دارای یک پنجره به طول ۵.25m و ارتفاع 2.80m می‌باشد. پارامترهای دمای هوای داخل و خارج، رطوبت نسبی داخل و خارج و دمای سطح داخلی و خارجی دیوار خارجی در این زون در روزهای ۱۸، ۱۹ و ۲۰ جولای (به مدت سه روز کامل معادل ۷۲ ساعت) با فواصل هر ۵ دقیقه و توسط دو عدد دیتالاگر مدل MIC-98586J مورد تأثیر گیری شده است (تصویر ۱ تا ۳).

۲- شبیه‌سازی و اعتبار سنجی مدل

شبیه‌سازی با کمک نرم‌افزار راینو و پلاگین‌های لیدی‌بگ و هانی‌بی انجام شده است. برای بالا بردن دقت مدل شبیه‌سازی تلاش شده تا تمامی جزئیات از جمله مصالح جداره‌ها، شرایط باز و بسته بودن پنجره‌ها و میزان تهویه طبیعی با وضع موجود (ساختمان مورد مطالعه) تطابق داشته باشد. جزئیات دیوار خارجی به ترتیب از داخل به بیرون عبارت است از 3cm اندود گچ، 20cm بلوك اتوکلاو پرین، زیرسازی با پروفیل‌های فلزی و چوبی برای نما، نمای ترمومو وود (چوب حرارتی).

غیرهندسی را برای رسیدن به حداقل مصرف انرژی (حدود ۱۴٪ صرفه‌جویی) و حداکثر UDI (بیشتر از ۵۰٪) بهینه نموده است. تأثیر متغیرهای سایبانی بر آسایش حرارتی را به طور قطع نمی‌توان نادیده گرفت اما متأسفانه تحقیقات اندکی وجود دارد که تأثیر متغیرهای سایبانی بر آسایش حرارتی را بررسی کرده باشند (Amimi et al., 2021; Bessoudo et al., 2010; Carletti et al., 2016; Khoroshiltseva et al., 2016; Sghouri et al., 2018; Zhao et al., 2020; Park et al., 2020; Naderi et al., 2020; Razmi et al., 2021; Stazi et al., 2014). با این حال (Bessoudo et al., 2010) با اندازه‌گیری دمای تشعشعی و اندازه‌گیری شدت روشنایی در محیط داخل و خارج، تأثیر زوایای مختلف تیغه‌های سایبان کرکره‌ای خارجی را بر کیفیت روشنایی و دمای تشعشعی محیط داخلی یک اتاق مسکونی بررسی نموده است و به بهترین استراتژی کنترلی برای این نوع سایبان دست یافته است و به این ترتیب شرایط آسایش حرارتی داخل اتاق را ارزیابی نموده است. هرچند که به کارگیری سایبان بهینه می‌تواند درصد رضایت حرارتی در زمستان و تابستان را افزایش دهد اما لزوماً موجب کاهش نیاز انرژی نمی‌شود بهویژه اگر تأمین نور روز در کنار توابع بار حرارتی و آسایش حرارتی جزء توابع هدف در نظر گرفته نشده باشد (Khoroshiltseva et al., 2016)، زیرا در این صورت ممکن است با وجود کاهش بار حرارتی و بهبود نسی آسایش حرارتی، فضای بیش از حد روش و یا بیشتر اوقات تاریک باشد و در نتیجه مصرف انرژی افزایش یابد. بنابراین لزوم بررسی هم‌زمان باز حرارتی، نور روز و آسایش حرارتی با توجه به تغییر پارامترهای سایبانی بسیار واجب و با اهمیت است.

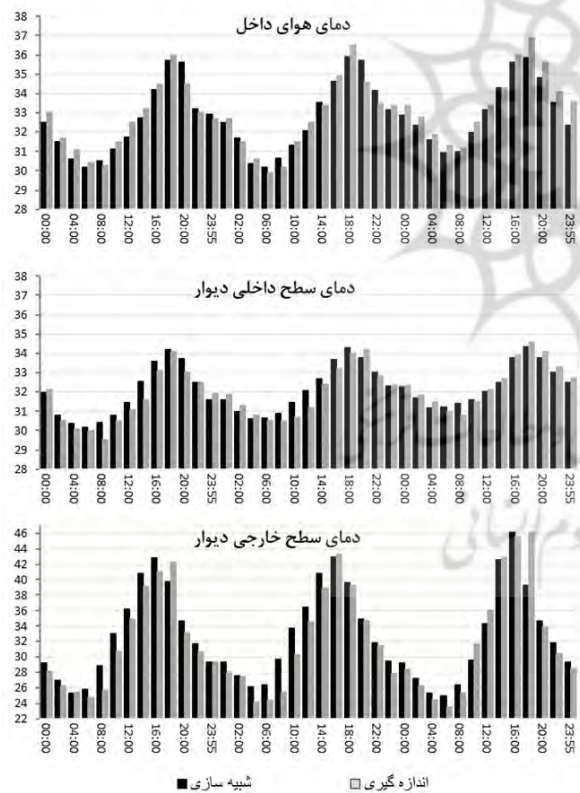
پژوهش‌ها نشان می‌دهند که متغیرهای سایبان مربوط به هر نوع سایبان، محدود به پارامترهای کلی مشخصی مانند ابعاد، زاویه، محل قرارگیری، و مصالح می‌باشند. از سوی دیگر مرور جامعی که Kir (imtat et al., 2016) بر پژوهش‌های از سال ۱۹۹۶ تا ۲۰۱۵ مدل‌های شبیه‌سازی برای سیستم‌های سایبانی انجام داده است نشان می‌دهد که مهم‌ترین عملکردهای ساختمانی متأثر از متغیرهای سایبانی شامل عملکرد حرارتی، نور روز و آسایش حرارتی می‌باشد. همچنین مطالعات نشان می‌دهند که ۴ روش کلی شامل روش‌های شبیه‌سازی و مقایسه‌ای، برداشت‌های میدانی، بهینه‌سازی، و هوش مصنوعی در پژوهش‌ها به کارگرفته شده که در هر پژوهش یکی از این روش‌ها و یا ترکیبی از چند روش مورد استفاده قرار گرفته است. پژوهش حاضر با ترکیب روش‌های مطالعات میدانی، شبیه‌سازی‌های نرم‌افزاری، بهینه‌سازی و شبکه عصبی مصنوعی، ضمن اعتبار سنجی نتایج توانسته است سرعت محاسبات و آنالیزهای بهینه‌سازی را به طور چشمگیری افزایش دهد. مطالعه نتایج پژوهش‌های گذشته نشان می‌دهد که وجود سایبان‌های خارجی تأثیر بسیار زیادی بر رفتار حرارتی، مصرف انرژی و کیفیت نور روز می‌گذارد و بهویژه در اقلیمهای گرم طراحی سایبان‌های خارجی کارآمد بسیار ضروری است. با این حال تاکنون در هیچ پژوهشی کیفیت سایه‌اندازی مورد توجه نبوده است و صرفاً اگر یک سایبان موجب کاهش مصرف انرژی شود و شاخص‌های نور روز را نیز تأمین نماید و آسایش حرارتی فضای داخل را نیز بهبود ببخشد به عنوان یک سایبان بهینه و کارآمد تلقی می‌شود در حالی این پژوهش علاوه بر لزوم کاهش مصرف انرژی و تأمین استانداردهای نور روز با تأکید بر



تصویر ۲- موقعیت قرارگیری دستگاه دیتالاگر داخلی، ۱- دستگاه اصلی بر روی یک پایه به ارتفاع تقریبی ۹۰cm گذاشته شده و دمای هوا و رطوبت نسبی محیط داخل را ثبت می کند؛ ۲- سیم ترموموکوپل دستگاه بر روی دیوار چسبانده شده است و دمای سطح داخلی دیوار را ثبت می کند.

جدول ۱- محاسبه مقادیر شاخص‌ها برای پارامترهای T_i , T_{Si} , T_{So}

	NMBE	CV(RMSE)	R2
T_i	0.5	1.3	0.999
T_{Si}	-0.4	1.2	0.999
T_{So}	-1.8	5.5	0.988



تصویر ۴- مقایسه نتایج شبیه‌سازی و اندازه‌گیری در رابطه با دمای هوای داخل، دمای سطح داخلی و خارجی پوسته.

to-Aguirre et al., 2021; Sang et al., 2017; Dahanayake et al., 2017; Andelkovic et al., 2016; Sima et al., 2015; Hashemi et al., 2010). شاخص‌های مورد استفاده جهت بررسی دقت مدل (ama-Gonzalez et al., 2022; Coakley et al., 2012; ASHRAE 14-2014; ASHRAE 14-2002; Ramos Ruiz et al., 2017 می‌باشد. مقادیر این شاخص‌ها برای دمای R2, CV(RMSE), NMBE



تصویر ۱- موقعیت قرارگیری دستگاه دیتالاگر در مجاورت نمای خارجی، ۱- دستگاه اصلی در داخل یک محفظه با قابلیت نهوده قرار گرفته است و دمای هوا و رطوبت نسبی محیط بیرون را ثبت می کند؛ ۲- سیم ترموموکوپل دستگاه در داخل یک محفظه بر روی نمای بیرون نصب شده و دمای سطح خارجی دیوار را ثبت می کند.



تصویر ۳- موقعیت زون مورد مطالعه- ساختمان مسکونی در شیراز.

دیوارهای داخلی نیز شامل ۱۰cm بلوک اتوکلاو پرین با دو طرف اندودی گج می‌باشند. پنجره از نوع دوجداره، با قاب PVC، ضریب هدایت $2W/m^2k$, ضریب عبور $(VT=0.52)$, و ضریب جذب خورشیدی $(SHGC=0.4)$ می‌باشد. کف این زون در مجاورت فضای مسکونی زیرین است و سقف آن در مجاورت فضای بیرون می‌باشد که با جزئیات بام سبز اجرا شده است. این زون به صورت کنتrol نشده و با تهیه طبیعی شبیه‌سازی شده است. این زون دارای سایبان‌های خارجی افقی و عمودی به عمق ۳۰cm در جبهه جنوب غربی می‌باشد. همچنین چندین تیغه عمودی به عمق ۱۰cm بر روی نما قرار گرفته است که بیشتر جنبه ترئینی دارند (تصویر ۳).

از دیگر اقداماتی که برای بالا بردن دقت شبیه‌سازی انجام شده این است که اطلاعات دمای هوای خارج و رطوبت نسبی خارج که توسط دستگاه دیتالاگر در بازه انجام مطالعات میدانی اندازه‌گیری شده است بر روی فایل اقلیمی EPW که توسط نرمافزار برای اقلیم شیراز ساخته می‌شود، جایگزین شده است. همچنین سرعت جریان هوای بیرون در مدت‌زمان آزمایش نیز از ایستگاه هواشناسی شیراز دریافت و بر روی فایل اقلیمی جایگزین شده است. این کار با کمک نرمافزار Run Elements 1.0.4 انجام گردید. جهت اعتبار سنجی مدل شبیه‌سازی، مقادیر سه پارامتر دمای هوای داخل زون، دمای سطح داخلی و دمای سطح خارجی نما نسبت به برداشت‌های میدانی مقایسه شدند (-Calix

بنابراین بدینه است که نمی توان تمامی حالات ممکن را شبیه سازی نمود. تکنیک LHS کمک می کند تا با یک نمونه برداری یکنواخت در کل جامعه هدف بتوان جمعیت نمونه ای را تولید نمود که از تمام قسمت های فضای جستجو نمونه برداری کند. به این ترتیب با بررسی یک نمونه با جمعیت بسیار کمتر از جمعیت جامعه هدف می توان تمام ویژگی های جامعه هدف را با دقت نسبتاً خوبی بررسی نمود (Viana, 2016; Levy et al., 2010; Tian et al., 2018; Loepky et al., 2016; Singh et al., 2016; Zhang et al., 2020). در این مقاله تعداد ۳۰۰ حالت مختلف سایه ایان (از ترکیب ۳۴ تیغه سایه ایان) یعنی ۱۰,۲۰۰ برابر تعداد متغیرهای مستقل (۳۴ تیغه) جهت آموزش شبکه عصبی و تعداد ۳۴۰۰ حالت مختلف دیگر (یعنی ۱۰۰ برابر تعداد متغیرهای مستقل) نیز جهت آزمایش شبکه عصبی به صورت جداگانه با این روش تولید شده است.

۵- شرایط و جزئیات شبیه سازی برای جمعیت نمونه

تمامی ۱۳,۶۰۰ حالت مختلف سایه ایان که توسط تکیک LHS در مرحله قبل تولید شدند (مجموع دیاست آموزش و تست)، توسط پالگین های لیدی باگ، هانی بی و هانی بی پلاس مورد شبیه سازی قرار گرفتند. به این ترتیب هر کدام از حالت های سایه ایان به صورت جداگانه شبیه سازی شدند و مقادیر ۱۵ تابع هدف (متغیرهای وابسته) حاصل از خروجی هر شبیه سازی از جمله اندازه سیستم های سرمایش و گرمایش، شاخص های نور روز (sDA, UDI, ASE)، سازگاری حرارتی و غیره ثبت شدند. لیست کامل توابع هدف و سایر مشخصات این شبیه سازی ها در جدول (۲) نشان داده شده است. در هر شبیه سازی پنجره ها به صورت جسته فرض شده اند (بدون تهویه طبیعی) تا این طریق بتوان تأثیر تابش و سایه را دقیق تر بررسی نمود. سیستم Ideal Air Load برای سیستم تهویه مطبوع انتخاب شده است. متغیرهای مستقل شامل ۳۴ تیغه سایه ایان است که در بخش ۳-۳ توضیح داده شد. ضریب تابش پراکنده برای هر تیغه برابر با ۰.۵ و مقادیر درخشنده و سختی نیز برابر با صفر در نظر گرفته شده است به این ترتیب هر مصالحی که برای سایه ایان فرض شود چنانچه دارای ضرایب گفته شده باشد، در محاسبات روشنایی و بار حرارتی به جواب یکسانی خواهد رسید. از این رو در این تحقیق جنس هر تیغه نوعی ترمومواد با ضرایب گفته شده در نظر گرفته شده است. همچنین شبیه سازی ها برای کل سال و به صورت ماهانه انجام شده اند. اما مقادیر کسب تابش برای دوره سرد و گرم سال تفکیک شده است. با کمک نرم افزار 6.0 Climate Consultant و انتخاب معیار مدل سازگاری حرارتی در استاندارد اشri «دوره ۵۵-۲۰۱۰»، دوره گرم سال در شیراز از روز ۷ آپریل آغاز می شود و تا روز ۲۲ اکتبر ادامه دارد. سایر روزهای سال نیز به عنوان دوره سرد و نیاز به تابش برای اقلیم شیراز محسوب می شوند.

جدول ۲- فهرست توابع هدف (متغیرهای وابسته) حاصل از خروجی شبیه سازی.

حداکثر دمای سطح خارجی دیوار	اندازه سیستم سرمایش ^I (W)
حداکثر دمای سطح داخلی دیوار	اندازه سیستم گرمایش ^{II} (KWh/m ²)
درصد اوقات آسایش ^{III} PTC	بار سرمایش ^{III} (KWh/m ²)
درصد اوقات خیلی گرم ^{IV} PTTH	بار گرمایش ^{IV} (KWh/m ²)
درصد اوقات خیلی سرد ^V PTTC	شاخص روشنایی ^V
کسب تابش در دوره گرم (KWh)	شاخص روشنایی ^{VI} sDA
کسب تابش در دوره سرما (KWh)	شاخص روشنایی ^{VII} UDI
	حداکثر دمای هوای داخل

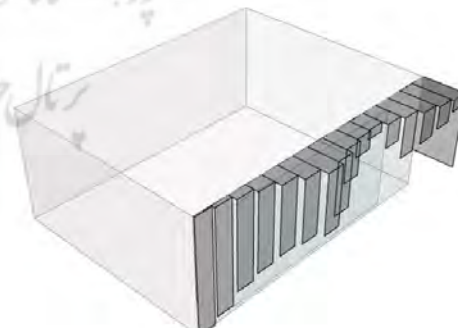
هوای داخلی Ti دمای سطح داخلی دیوار Tsi و دمای سطح خارجی دیوار Tso محاسبه شده است و در جدول (۱) نشان داده شده است. مقدار R2 برای هر کدام از پارامترهای Ti و Tsi به ترتیب برابر با ۰,۹۹۸ و ۰,۹۹۸ می باشد که نشان دهنده دقت بالای شبیه سازی ها است و برای انجام ادامه مطالعات معتبر می باشد. نمودارهای تصویر (۴) مقایسه نتایج شبیه سازی و اندازه گیری در رابطه با دمای هوای داخل، دمای سطح داخلی و خارجی پوسته را نشان می دهد.

۳- تولید سایه ایان ثابت پارامتریک

برای اینکه بتوان تأثیر سایه اندازی نما بر روی کارایی ساختمان ارزیابی نمود نیاز است که یک سایه ایان پارامتریک به گونه ای طراحی شود که تمامی متغیرهای هندسی سایه ایان را دارا باشد و بتواند زاویه، عمق، ارتفاع و موقعیت خود را در طول نمای ساختمان تغییر دهد و به این ترتیب سایه اندازی های متنوعی را ایجاد کند. برای این منظور یک سایه ایان پارامتریک شامل ۳۴ تیغه که هر کدام می توانند به صورت مستقل در محدوده مجاز تغییر طول دهند بر روی نمای ساختمان طراحی شده است. این سایه ایان شامل ۱۶ تیغه افقی (با عرض حدود ۵۰cm بر بالای نما، ۱۶ تیغه عمودی در جلوی نما (با عرض حدود ۵۰cm) و ۲ تیغه عمودی نیز در دو طرف انتهای نما می باشد. عمق تیغه های افقی و همچنین عمق تیغه های عمودی طرفین می تواند بین صفر تا حداکثر ۱۲۰cm (حداکثر حد مجاز پیش آمدگی ساختمان بر اساس ضوابط شهرداری شیراز (طرح تفضیلی شیراز، ۱۳۹۳) و ارتفاع تیغه های عمودی نیز می تواند بین صفر تا ۳m (حداکثر برابر با ارتفاع ساختمان یا ارتفاع یک طبقه) متغیر در نظر گرفته شود. از ترکیب ابعاد مختلف این تیغه ها می توان تعداد حالات بسیار زیادی سایه ایان تولید کرد (تصویر ۵).

۴- روش نمونه برداری LHS

تمامی حالت های ممکن تولید سایه ایان در این مدل پارامتریک می تواند بیش از ۱۰^{۶۸} حالت مختلف شود. با در نظر گرفتن این نکته که زمان هر شبیه سازی به صورت میانگین حدود ۶ دقیقه طول می کشد،



تصویر ۵- طراحی سایه ایان ثابت پارامتریک بر روی نمای خارجی مدل شبیه سازی شده.

چهار لایه پنهان که در هر لایه ۳۲ گره وجود دارد بهترین دقت را برای همه توابع هدف تأمین نموده است. به این ترتیب معماری هر شبکه شامل لایه ورودی با ۳۴ داده (اطلاعات مربوط به بعد از تیغه‌ها)، ۴ لایه پنهان هر کدام با ۳۲ گره، و یک لایه خروجی است که برای توابع رگرسیون دارای یک گره می‌باشد ولی برای توابع دسته‌بندی تعداد گره‌ها برابر با تعداد کلاس‌ها است (تکنیک OneHotEncoder) (تصاویر ۶ تا ۷).

۷- بهینه‌سازی

هدف از این بهینه‌سازی یافتن مدل‌هایی از سایبان پارامتریک است که بتواند از یک سو بار سرمایشی و گرمایشی و شاخص UDI را به حداقل و از سوی دیگر مقدار sDA را به حداقل برساند. الگوریتم‌های تکاملی به صورت گستردگی در مسائل چنددهفه مورد استفاده قرار می‌گیرند. یکی از محبوب‌ترین و قوی‌ترین الگوریتم‌های تکاملی، الگوریتم NSGA-II است (Deb et al., 2002) که در حوزه حل مسائل معماري و انرژي بسیار مورد استقبال واقع شده است Chatzikonstantinou et al., 2015; Yufka et al., 2017; Kara-) man et al., 2017; Yi, 2019; Ascione et al., 2019; Asadi et al., NSGA-III 2015 (Carlucci et al., 2014; Pare et al., 2002) با این وجود الگوریتم pareto front که در مقایسه با NSGA-II ضمن جدیدترین، قابلیت ارائه Deb et al., 2013; Emmerich et al.) را دارد. این روش از محدودیت‌های بهینه‌سازی را در حوزه قرار گرفته است. از این‌رو در این تحقیق جهت حل مسئله بهینه‌سازی از الگوریتم NSGA-III پیشرفت نموده است. تعداد جمعیت در هر نسل برابر با ۵۰۰ و تعداد کل نسل‌ها برابر با ۱۰۰ در نظر گرفته شده است. جهت اجرای این الگوریتم، در این مقاله، از کتابخانه Pymoo و زبان برنامه‌نویسی پایتون استفاده شده است. بهینه‌سازی مورد استفاده در این مقاله از نوع بدون قید بوده است. پس از پایان بهینه‌سازی، پاسخ‌های بهینه مجدد وارد شبکه عصبی شده‌اند تا بتوان مقادیر سایر توابع هدف (جدول ۲) را پیش‌بینی نمود. سپس پاسخ‌های بهینه بر اساس مقادیر استاندارد شاخص‌های روشنایی فیلتر شده‌اند تا به این ترتیب بتوان بهترین پاسخ‌ها را از میان نتایج بهینه‌سازی معین نمود.

۲- آنالیز داده‌ها

۲-۱. نتایج شبکه عصبی

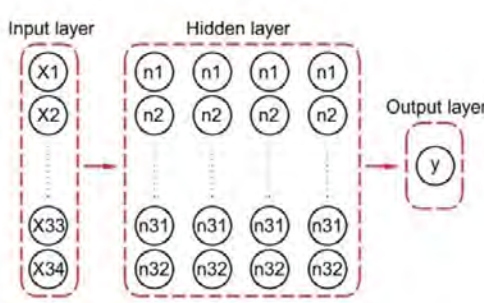
شاخص اندازه‌گیری دقت برای توابع پیوسته R2 score و برای توابع گستته F1 score در نظر گرفته شده است. تمامی توابع هدف با دقت بیش از ۹۰٪ آموزش داده شده‌اند که مقادیر آنها در جدول (۳)

۶- شبکه عصبی مصنوعی

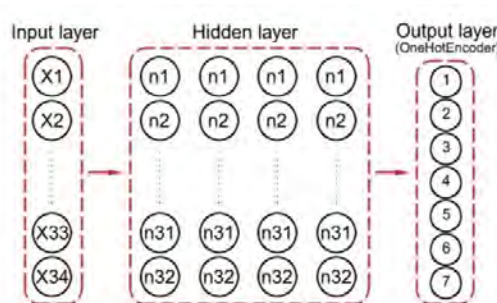
شبکه عصبی مصنوعی یک الگوریتم هوشمند است که متغیرهای مستقل ورودی را به متغیرهای وابسته خروجی تأثیر می‌گذارد. هدف از ایجاد چنین شبکه‌ای در این مقاله تولید یک امولاتور است به نحوی که با وارد کردن هر حالتی از سایبان به داخل شبکه بتوان در کمتر از ۱ ثانیه مقادیر توابع هدف را پیش‌بینی نمود. همان‌طور که قبلاً توضیح داده شد محدوده تغییرات تیغه‌های افقی بین صفر تا ۱.۲m و مقادیر تیغه‌های عمودی بین صفر تا ۳m تعیین شده است که این اعداد برای ورود به شبکه در بازه صفر تا یک نگاشت شده‌اند و به این ترتیب هر ترکیب از این ۳۴ عدد، یک ردیف از ماتریس داده‌های ورودی به شبکه ANN را تشکیل می‌دهد و از آنجا که تعداد کل حالات شبیه‌سازی شده برای آموزش برابر با 10^{200} حالت است بنابراین ابعاد ماتریس ورودی برابر با $10 \times 34 \times 10^{200}$ می‌باشد که هر ردیف نشان‌دهنده یک حالت متفاوت از نوع قرارگیری تیغه‌های سایبان است. از آنجا که توابع هدف (متغیرهای وابسته) دارای ماهیت‌های متفاوتی هستند بنابراین شبکه عصبی برای هر کدام از این توابع به صورت جداگانه آموزش داده شده است. مقادیر توابع هدف در بازه بین صفر و یک نگاشت شده‌اند تا عملیات آموزش بهتر انجام شود. پس از پایان آموزش، کدی نوشته شده است که هر کدام از مقادیر توابع هدف را به بازه اصلی آن برمی‌گرداند و اعداد واقعی هر تابع را نمایش می‌دهد.

همه این توابع هدف به‌جز توابع مربوط به سازگاری حرارتی از نوع پیوسته هستند. از آنجا که تابع فعال ساز Leaky Relu نسبت به سایر توابع از دقت بالاتری برخوردار است (Salam, 2021; Szandala, 2021)، بنابراین برای آموزش شبکه عصبی از این تابع استفاده شده است و به این ترتیب لایه خروجی در هر کدام از این شبکه‌ها دارای یک گره است که همان مقدار تابع هدف می‌باشد. اما توابع هدف مربوط به سازگاری حرارتی از نوع ناپیوسته هستند و بنابراین شبکه عصبی باید به صورت دسته‌بندی شده آموزش بینند و به همین دلیل تابع فعال ساز SoftMax است و در لایه آخر نیز از تکنیک One-HotEncoder استفاده شده است. در این توابع دسته‌بندی، تعداد کلاس‌ها برای تابع "PTC" و "PTTH" برابر با ۷ و برای تابع "PTT" برابر با ۱۲ می‌باشد. تمام روند برنامه‌نویسی با استفاده از کتابخانه‌های TensorFlow Team (TensorFlow Team, 2015) و کراس (Chollet, 2015) در زبان برنامه‌نویسی پایتون اجرا شده است.

معماری‌های زیاد و متنوعی برای آموزش این توابع در شبکه عصبی مورد آزمایش قرار گرفته‌اند و نکته جالب اینکه معماری تشکیل شده از



تصویر ۷- معماری شبکه عصبی برای توابع رگرسیون.



تصویر ۶- معماری شبکه عصبی برای توابع دسته‌بندی با ۷ کلاس.

سازگاری حرارتی به عنوان شاخص نهایی سنجش کیفیت سایه‌اندازی
سایه‌اندازی خارجی نمونه مورد مطالعه: ساختمان مسکونی در شیراز

ارزیابی کنیم کافی است که مقادیر توابع هدف برای آن در محدوده‌های ارائه شده در این جدول باشد. برای مثال اگر سایبانی طراحی شود که اندازه سیستم سرمایش آن در محدوده $570\text{--}983\text{W}$ ، اندازه سیستم گرمایش آن در محدوده $627\text{--}645\text{W}$ و مقدار ASE کمتر از $9/9\%$ باشد و به همین ترتیب سایر توابع هدف آن نیز در محدوده‌های قبل قبول مطابق با جدول (۵) باشد، به این ترتیب می‌توان مطمئن شد که این یک سایبان بهینه و کارآمد خواهد بود.

۳- بحث در نتایج

۱- تأثیر سایه‌اندازی بر بار حرارتی و اندازه سیستم‌های حرارتی

نتایج نشان می‌دهد که وجود سایبان مناسب می‌تواند در صد قابل قبول از نیاز حرارتی و همچنین اندازه سیستم‌های سرمایش و گرمایش را کاهش دهد. چنانچه محدوده بار حرارتی و اندازه سیستم‌ها برای نمونه‌های بهینه را با مدل پایه (بدون سایبان) مقایسه کنیم به این نتیجه گرماییم رسید که سایه‌اندازی بهینه می‌تواند اندازه سیستم سرمایشی را بین 5.3% تا 7.3% ، اندازه سیستم گرمایشی را بین 8% تا 10% و بار سرمایشی را بین 5.9% تا 7.4% کاهش دهد. در مدل بدون سایبان میزان بار گرمایش ماهانه به صفر می‌رسد اما این به معنای قابل قبول بودن شرایط آسایش حرارتی در این دوره از سال نیست زیرا نتایج شبیه‌سازی مربوط به مدل پایه نشان می‌دهد که به دلیل دریافت بیش از حد تابش در دوره سرد سال و عدم استفاده از تهویه طبیعی و سیستم مکانیکی، شرایط حرارتی فضای داخل بهشت گرم است و نه تنها نیازی به گرمایش نیست بلکه باید محیط را نیز خنک نمود. از این روی وجود سایه‌اندازی بهینه نه تنها شرایط حرارتی فضای داخل را برای دوره گرم سال بهبود می‌بخشد بلکه موجب بهبود شرایط حرارتی در دوره سرد سال نیز می‌شود.

۲- تأثیر سایه‌اندازی بر میزان کسب تابش

نفوذ بیش از حد تابش به داخل هم موجب عدم آسایش بصری و هم موجب عدم آسایش حرارتی می‌شود. همان‌طور که پیشتر توضیح داده شد اگر میزان نفوذ تابش کنترل نشود شرایط حرارتی بسیار گرم و نامطلوبی در دوره سرد و گرم سال ایجاد می‌شود و به همین دلیل در اقلیم نه‌چندان سردی مثل شیراز در تمام طول سال نیازمند کنترل میزان کسب تابش هستیم به ویژه زمانی که نمای ساختمان در راستای

جدول ۵- کمینه و بیشینه توابع هدف برای ۲۴۴ نمونه سایبان بهینه و منتخب.

اندازه سیستم گرمایش (W)
627 - 645
12.4 - 19.4
0.83 - 5.05
0.99% - 9.9%
40.1% - 86.6%
82.8% - 86.3%
34.1 - 37
30.8 - 32
33.9 - 36.6
33.3% - 66.67%
25% - 41.6%
0% - 33.3%
617 - 1080
392 - 828

بار سرمایش (KWh/m ²)
بار گرمایش (KWh/m ²)
شاخص روشنایی ASE
شاخص روشنایی sDA
شاخص روشنایی UDI
حداکثر دمای هوای داخل Co
حداکثر دمای سطح خارجی دیوار C°
حداکثر دمای سطح داخلی دیوار C°
درصد اوقات آسایش PTC
درصد اوقات خیلی گرم PTTH
درصد اوقات خیلی سرد PTTC
کسب تابش در دوره گرما
کسب تابش در دوره سرما

ارائه شده است. به این ترتیب این مدل می‌تواند مقادیر توابع هدف را با سرعت و دقت بسیار بالایی پیش‌بینی نماید. هرکدام از این توابع به صورت جداگانه آموزش دیده‌اند اما برای اینکه بتوان تامیم توابع هدف را برای هر مدل سایبان ورودی به صورت پیوسته پیش‌بینی نمود، یک تابع در پایتون نوشته شده است که با دریافت هر مدل دلخواه سایبان (هر ترکیب ۳۴ تایی دلخواه از اندازه تیغه‌های سایبان) قادر است مقادیر پیش‌بینی شده همه توابع هدف به ازای این مدل سایبان را ارائه دهد.

۲-۱. معیار انتخاب مدل‌های قابل قبول حاصل از بهینه‌سازی

جبهه پرتو در بهینه‌سازی چنددهدفه در واقع نشان دهنده پاسخ‌های بهینه و کارآمد هستند که به طرح این اجزاء را می‌دهند که بتواند با توجه به این پاسخ‌ها و آنالیزهای رفت و برگشتی، بهترین پاسخ را در راستای اهداف تحقیق انتخاب نماید. در واقع پاسخ‌های نهایی در جبهه پرتو هیچ برتری نسبت به هم ندارند و محقق بر اساس معیارها و اهداف خود می‌تواند مناسب‌ترین پاسخ را از میان پاسخ‌های جبهه پرتو انتخاب نماید. تعداد پاسخ‌های پرتو نهایی در این بهینه‌سازی برابر با ۳۶ است که پس از اعمال فیلتر به ۲۱ پاسخ بهینه می‌رسد. معیار فیلتر بر اساس مقادیر استاندارد تعریف شده برای شاخص‌های روشنایی می‌باشد (https://climatestudiodocs.com). به عبارتی از آنجا که مقادیر شاخص sDA و ASE اگر به ترتیب بیشتر از 10% باشند غیر قابل قبول محسوب می‌شوند بنابراین کلیه پاسخ‌هایی که دارای sDA و ASE غیر قابل قبول بودند حذف گردیدند. این ترتیب محدوده بیشینه و کمینه توابع هدف حاصل از بهینه‌سازی مشخص می‌گردد که در جدول (۴) ارائه شده است. با توجه به محدوده‌های بهینه نیازی به گرمایش، کلیه نمونه‌های موجود در دیتابست اصلی (مجموع دیتابهای آموزش و تست که برابر با ۱۳۶۰۰ نمونه سایبان است) نیز بررسی و نمونه‌های قابل قبول بیرون کشیده شدند. مقادیر توابع هدف برای این نمونه‌ها در بازه‌های قابل قبول مطابق با جدول (۴) می‌باشد. به این ترتیب تعداد ۲۲۳ پاسخ بهینه دیگر نیز به مجموع پاسخ‌های بهینه حاصل از روند بهینه‌سازی افزوده شد و بنابراین تعداد کل پاسخ‌های بهینه قابل قبول به ۲۴۴ مورد رسید.

۲-۲. محدوده توابع هدف برای پاسخ‌های بهینه

محدوده قابل قبول کلیه توابع هدف برای تمامی ۲۴۴ پاسخ بهینه در جدول ۵ ارائه شده است. به عبارتی چنانچه بخواهیم یک سایبان را

جدول ۳- دقت شبکه عصبی آموزش دیده برای هرکدام از توابع هدف.

اندازه سیستم گرمایش	حداکثر دمای سطح خارجی دیوار	0.993
بار سرمایش	حداکثر دمای سطح داخلی دیوار	0.982
بار گرمایش	برای گرمایش	0.993
درصد اوقات آسایش	شاخص روشنایی ASE	0.96
درصد اوقات خیلی گرم	شاخص روشنایی sDA	0.989
درصد اوقات خیلی سرد	شاخص روشنایی UDI	0.993
کسب تابش در دوره گرما	کسب تابش در دوره سرما	0.992

جدول ۴- کمینه و بیشینه توابع هدف بر اساس پاسخ‌های بهینه.

UDI	sDA	ASE	HeatingLoad (KWh/m ²)	CoolingLoad (KWh/m ²)
82.8	40	0.99	0.64	12.4 min
86.3	86.6	9.9	5.05	19.38 max

جدول ۶- گروه‌بندی سایبان‌ها بر اساس مقادیر PTC.

sDA	محدوده ASE	محدوده کاهش اندازه سیستم	محدوده کاهش اندازه سیستم سرمایش	گروه ۱ PTC = 33.3%
40.1% - 42.6%	1.5% - 5.5%	9.4% - 10.5%	60.2% - 62.8%	گروه ۲ PTC = 41.6%
40.1% - 69.3%	1.5% - 9.9%	8.1% - 10.1%	54.4% - 66.9%	گروه ۳ PTC = 50%
40.1% - 643%	1% - 9.9%	7.8% - 10.3%	53.4% - 71.7%	گروه ۴ PTC = 58.3%
41.1% - 86.6%	3.5% - 9.9%	8.1% - 10.2%	56.7% - 73%	گروه ۵ PTC = 66.6%
53.9% - 67.3%	5% - 7.4%	8.9% - 9.6%	67.2% - 70.6%	

بسیار سرد و خارج از محدوده آسایش حرارتی می‌باشد. جهت بررسی مهمیت سایه‌اندازی بر روی نما و تأثیر آن بر وضعیت آسایش حرارتی، مدل مورد نظر بدون هیچ سایبانی (مدل پایه) شبیه‌سازی شد و نتایج سازگاری حرارتی آن با نتایج نمونه‌های دارای سایه‌اندازی بهینه (تمامی ۲۴۴ نمونه بهینه حاصل از مجموع پاسخ‌های بهینه‌سازی و فیلترینگ دیتاست) مقایسه گردید. نتایج نشان می‌دهد که اگر هیچ سایه‌اندازی بر روی نما ایجاد نشود، هیچ‌گاه در طول سال، چه در دوره گرم و چه در دوره سرد، آسایش حرارتی برقرار نخواهد شد و در واقع شرایط حرارتی همیشه، حتی در زمستان، بسیار گرم و خارج از محدوده آسایش حرارتی خواهد بود. لازم به یادآوری است که تمام شبیه‌سازی‌ها در شرایط بدون تهویه طبیعی و بدون سیستم مکانیکی انجام شده‌اند. بررسی مقادیر PTC برای ۲۴۴ نمونه بهینه نشان می‌دهد که سایبان‌های بهینه می‌توانند مقدار PTC را حداقل به $\frac{3}{3} / ۳$ % برسانند یعنی موجب می‌شوند که حداقل ۴ ماه از سال آسایش حرارتی ایجاد شود. از سوی دیگر این سایبان‌ها حداکثر PTC ای که ایجاد می‌کنند برابر با $\frac{7}{6} / ۶$ % است به این معنا که بهترین سایبان‌های بهینه حداکثر می‌توانند ۸ ماه از سال آسایش حرارتی (مدل سازگاری) را ایجاد نمایند. در این حالت از ماه July تا ماه Oct وضعیت حرارتی بسیار گرم و خارج از محدوده آسایش است و حداکثر دمای هوای داخل زون نیز بین $\frac{5}{3} / ۳$ تا $\frac{5}{3} / ۵$ درجه سانتی گراد می‌باشد. این در حالی است که اگر هیچ سایبانی وجود نداشت میانگین دمای هوای داخل در این ماه‌ها می‌توانست به راحتی به $\frac{7}{4} / ۷$ درجه سانتی گراد هم برسد.

این نتایج به خوبی نشان می‌دهند که با وجودی که یک سایبان بهینه می‌تواند بار حرارتی را کاهش دهد و هزمنام نور روز رانیز در حد استاندارد تأمین نماید، اما احتمال دارد که نتواند شرایط آسایش حرارتی را به خوبی تأمین کند. برای مثال اگر ۲۴۴ نمونه سایبان بهینه‌ای که در این مقاله تولید شده‌اند، بر اساس مقدار PTC طبقه‌بندی شوند، ۵ گروه سایبان ایجاد می‌شود. جدول (۶) با ارائه این گروه‌بندی نشان می‌دهد که هر ۵ گروه سایبان با وجودی که از نظر صرف‌جویی در بار حرارتی و شاخص‌های روشنایی در حد قابل قبول و نزدیک به هم هستند اما به لحاظ کیفیت آسایش حرارتی بسیار متفاوت عمل می‌کنند. مثلاً گروه ۵ می‌تواند تا ۸ ماه از سال آسایش حرارتی را تأمین کند در حالی که گروه ۱، تنها تا ۴ ماه از سال آسایش حرارتی را تأمین می‌کند. از هر کدام از این گروه‌ها یک سایبان به عنوان نمونه انتخاب شده است و مقادیر بعدی هر ۳۴ تیغه برای آن در جدول (۷) نشان داده شده است.

جنوب غربی قرار گرفته و دارای پنجره با مساحت زیاد است. نتایج این تحقیق نشان می‌دهد که سایه‌اندازی بهینه می‌تواند میزان کسب تابش در دوره گرم نیاز به سایه را حدود $\frac{4}{6} / ۶$ % تا $\frac{8}{8} / ۸$ % در دوره سرد سال نیز حدود $\frac{2}{2} / ۲$ % تا $\frac{۲}{۲} / ۲$ % کاهش دهد. این میزان کاهش دریافت تابش در حالی است که هم استانداردهای شاخص‌های روشنایی رعایت شده است و هم میزان بار حرارتی و اندازه سیستم‌های حرارتی در کمترین حالت خود هستند. کاهش کسب تابش در دوره سرد سال موجب حذف شرایط بسیار گرم و حتی گاهی ایجاد شرایط بسیار سرد می‌شود اما با این حال در نمونه‌های سایبان‌های بهینه با $\frac{۶}{6} / 66.67$ PTC% شرایط حرارتی در دوره سرد سال در حد مطلوب قرار می‌گیرد.

۳-۳. تأثیر سایه‌اندازی بر دمای سطح داخلی و خارجی دیوار

دمای سطح خارجی دیوار در مدل پایه (بدون سایبان) حداکثر $\frac{۴}{۴} / ۵$ درجه سانتی گراد در روز ۳۰ آگوست ساعت ۱۵:۰۰ می‌رسد. این در حالی است که در همین لحظه دمای هوای داخل برابر با $\frac{۹}{۹} / ۵۳.۹$ درجه سانتی گراد و دمای سطح داخلی دیوار نیز برابر با $\frac{۱}{۱} / ۵۱$ درجه سانتی گراد می‌گردد (این نتایج بر اساس شبیه‌سازی ساعتی شده است). با این وجود زمانی که از سایبان‌های بهینه استفاده می‌شود، حداکثر دمای سطح خارجی بسته به نوع مدل سایبان بین $\frac{۳}{۳} / ۴$ تا $\frac{۴}{۴} / ۴$ درجه سانتی گراد می‌تواند متغیر باشد یعنی به حدود $\frac{۱}{۱} / ۱۱$ الی $\frac{۶}{۶} / ۱۷$ درجه سانتی گراد کمتر از مدل پایه می‌رسد. اما نکته جالب توجه این است که دمای هوای داخل حدود $\frac{۷}{۷} / ۱۸$ - $\frac{۸}{۸} / ۱۷$ درجه سانتی گراد و دمای سطح داخلی دیوار نیز حدود $\frac{۹}{۹} / ۱۴$ - $\frac{۹}{۹} / ۱۵$ درجه سانتی گراد کاهش می‌یابند. در این حالت با اینکه دمای هوای داخل برابر با $\frac{۶}{۶} / ۳۵.۶$ - $\frac{۸}{۸} / ۳۶.۸$ می‌شود و همچنان خارج از محدوده آسایش حرارتی است، اما در میزان بار حرارتی صرف‌جویی قابل توجهی ایجاد می‌گردد.

۴-۳. تأثیر سایه‌اندازی بر سازگاری حرارتی

در این مقاله از مدل سازگاری حرارتی (حیدری، ۱۳۹۳-۲۰۱۰) جهت انجام مطالعات استفاده شده است که در این راستا ۳ پارامتر PTC، PTTH، PTTC برای هر نمونه سایبان محاسبه شده است که در واقع درصد وجود آسایش حرارتی در طول سال را نشان می‌دهد برای مثال $\frac{۵}{۵} / 50$ PTC = 33.3، $\frac{۵}{۵} / 50$ PTTH = 16.67 و $\frac{۵}{۵} / 50$ PTTC = 16.67 به ترتیب به این معناست که $\frac{۵}{۵} / 50$ ٪ از اوقات سال (۶ ماه) آسایش حرارتی برقرار است، $\frac{۵}{۵} / 50$ ٪ از اوقات سال (۴ ماه) شرایط حرارتی داخل فضا بسیار گرم و $\frac{۵}{۵} / 50$ ٪ از اوقات سال (۲ ماه) شرایط حرارتی داخل فضا

سازگاری حرارتی به عنوان شاخص نهایی سنجش کیفیت سایه اندازی
سایبان های خارجی نمونه مورد مطالعه: ساختمان مسکونی در شیراز

جدول ۷- ابعاد فیزیکی سایبان های بهینه - در هر ۶۰ رو، ابعاد یکی از سایبان ها، به عنوان نماینده، نوشته شده است.

نوع تیغه	شماره تیغه ها	۱	۲	۳	۴	۵
تیغه های افقی (m)		PTC = 33.3%	PTC = 41.6%	PTC = 50%	PTC = 58.3%	PTC = 66.6%
تیغه های عمودی (m)	۱	۱.۲	۰.۳۶	۰.۵۷۶	۱.۱۳	۱.۲
	۲	۱.۱۶	۰.۶	۰.۶۴	۱.۱۹	۱.۱۳
	۳	۱.۱۳	۰.۶	۰.۹	۰.۶۷	۰.۶۷
	۴	۱.۰۹	۰.۶	۰.۶۴	۰.۱۷	۰.۱۷
	۵	۱.۰۶	۰.۶	۰.۰۸	۰.۷۲	۰.۷۲
	۶	۱.۰۲	۰.۶	۰.۰۶	۰.۹	۰.۹
	۷	۰.۹۸	۰.۶	۰.۷۴	۰.۶۳	۰.۶۳
	۸	۰.۹۵	۰.۶	۱.۱۷	۰.۵۷	۰.۵۷
	۹	۰.۹۱	۰.۶	۱.۱۷	۰.۱۲	۱
	۱۰	۰.۸۸	۰.۶	۱.۰۶	۰.۶۹	۰.۹۹
	۱۱	۰.۸۴	۰.۶	۱.۰۲	۰.۸	۰.۴۸
	۱۲	۰.۸	۰.۶	۱.۰۶	۰.۸۶	۰.۸۶
	۱۳	۰.۷۷	۰.۶	۱.۰۲	۰.۱۳	۰.۹۷
	۱۴	۰.۷۳	۰.۶	۰.۵۵	۰.۵۱	۰.۲۳
	۱۵	۰.۷	۰.۶	۰.۸۶	۱.۰۵	۰.۷۲
	۱۶	۰.۶۶	۰.۶	۰.۳	۰.۳۶	۰.۳۱
تیغه عمودی چب (m)	۱	۳	۰.۵۱	۰.۸۱	۰.۸۴	۰.۸۴
	۲	۲.۴۹	۲.۰۷	۲.۴۹	۱.۳۲	۲.۴۹
	۳	۱.۹۸	۲.۷۶	۱.۳۵	۳	۱.۹۸
	۴	۱.۵	۲.۶۴	۲.۱۳	۱.۱۷	۱.۵
	۵	۱.۵	۲.۵۲	۲.۰۱	۲.۴۳	۱.۵۹
	۶	۱.۵	۲.۴	۲.۲۸	۲.۳۱	۲.۶۴
	۷	۱.۵	۲.۲۸	۲.۹۷	۲.۱۶	۲.۱
	۸	۱.۵	۲.۱	۲.۷	۲.۳۴	۲.۹۴
	۹	۱.۵	۲.۱	۲.۱	۱.۶۸	۱.۵
	۱۰	۱.۵	۲.۲۲	۱.۶۲	۱.۶۲	۱.۳۵
	۱۱	۱.۵	۲.۳۴	۱.۸۶	۲.۱۶	۲.۵۸
	۱۲	۱.۵	۲.۶۴	۲.۲۸	۱.۸۹	۲.۵۸
	۱۳	۱.۵	۲.۵۸	۲.۶۴	۲.۱۳	۱.۱۷
	۱۴	۱.۹۸	۲.۷	۲.۶۱	۲.۶۱	۱.۷۴
	۱۵	۲.۴۹	۲.۸۲	۱.۸۳	۱.۱۷	۰.۶
	۱۶	۳	۳	۱.۲۳	۰.۰۳	۲.۲۲
	۱۷	۳	۳	۱.۶۲	۰.۳۳	۱.۷۱
	۱۸	۳	۳	۱.۷۱	۰.۵۴	۱.۱۱

واژه های مخفف

ASE	Annual Sun Exposure
ANN	Artificial Neural Network
CV (RMSE)	Coefficient of Variation of the Root Mean Square Error
LHS	Latin Hypercube System
NMBE	Normalized Mean Bias Error
NSGA	Non-Dominated Sorting Genetic Algorithm
PTC	Percent of Time Comfortable
PTTC	Percent Of Time Too Cold
PTTH	Percent Of Time Too Hot
R2	Coefficient of Determination
sDA	spatial Daylight Autonomy
UDI	Useful Daylight Illuminance

نتیجه

این تحقیق تأثیر مستقیم سایه اندازی بر آسایش حرارتی را اثبات نمود و نشان داد که کاهش بار حرارتی و تأمین شاخص های روشنایی بدون در نظر گرفتن شرایط آسایش حرارتی نمی تواند معتبر باشد. بررسی ۲۴۴ نمونه سایبان بهینه این موضوع را به خوبی ثابت کرد که اگرچه می توان با یک سایه اندازی بهینه بار حرارتی را به میزان چشمگیری کاهش داد (بین ۵۳٪ تا ۷۳٪ کاهش بار سرمایشی و حدود ۸٪ تا ۱۰٪ کاهش بار گرمایشی) و همزمان شاخص های روشنایی را نیز در حد استاندارد نگه داشت، اما درصد اوقاتی که آسایش حرارتی در فضای داخل برقرار است (PTC) می تواند بین ۳۳.۳٪ (۴ ماه) تا ۶۶.۶٪ (۸ ماه) در سال

در این پژوهش با کمک برداشت های میدانی از یک مدل واقعی و شبیه سازی و اعتبار سنجی آن، و سپس تولید یک سایبان پارامتریک خلاقاله بر روی مدل و تولید ۱۳,۶۰۰ نمونه سایبانی متنوع و با بهره گیری از شبکه عصبی مصنوعی و بهینه سازی، تأثیر سایه اندازی بر روی عملکردهای بار حرارتی، نور روز و سازگاری حرارتی مورد بررسی و مطالعه قرار گرفت. پس از انجام بهینه سازی چند هدفه (با ۵ تابع هدف: بار سرمایش، بار گرمایش، ASE، sDA، UDI) و تولید نمونه های سایبان های بهینه، مقدار PTC به عنوان معیاری اساسی جهت سنجش کیفیت سایه اندازی مورد توجه قرار گرفت.

از سایر راهکارهای معماری فعال یا غیرفعال حس می‌شود. با این حال کاهش ۱۸ درجه‌ای دمای هوای داخل نسبت به مدل پایه، نشان‌دهنده کاهش چشمگیر مصرف انرژی می‌باشد. از سوی دیگر سایه‌اندازی بهینه در دوره سرد سال به راحتی شرایط بیش از حد گرم و بیش از حد سرد را حذف می‌کند و آسایش حرارتی را در طول دوره سرد تأمین می‌نماید. دوره سرد سال در شیراز کوتاه است و دمای هوا بدندرت به زیر صفر می‌رسد بنابراین با کنترل مناسب میزان نفوذ تابش به داخل، در طول روزهای زمستان، می‌توان شرایط آسایش حرارتی را به صورت غیرفعال برای فصل سرد در شیراز فراهم نمود.

متغیر باشد و این همان نکته‌ای است که معمولاً از نظر طراحان نادیده گرفته می‌شود. دستیابی به سایبانی که بتواند هم‌زمان بار حرارتی و شاخص‌های روشنایی را تأمین کند و حداکثر PTC را ایجاد نماید، نیازمند داشتن کیفیت بالای سایه‌اندازی است. به عبارتی باید میزان سایه‌اندازی بر روی نما در دوره گرم و سرد سال کاملاً کنترل شده و به میزان نیاز باشد. همچنین این تحقیق نشان داد که سایه‌اندازی بهینه در دوره گرم سال هرچند که موجب بهبود آسایش حرارتی می‌شود و دمای هوای داخل را بسیار کاهش می‌دهد (دمای هوای داخل نسبت به شرایط بدون سایبان می‌تواند تا ۱۸ درجه خنک‌تر شود)، اما نمی‌تواند آسایش حرارتی را به طور کامل ایجاد نماید و در نتیجه نیاز به استفاده

nance. *Applied Artificial Intelligence*. Apr. 16; 35(5): 373-92.

Asadi E, da Silva MG, Antunes CH, Dias L, Glicksman L. (2014). Multi-objective optimization for building retrofit: A model using genetic algorithm and artificial neural network and an application. *Energy Build*; 81: 444–56.

Ascione F, Bianco N, Mauro GM, Vanoli GP. (2019). A new comprehensive framework for the multi-objective optimization of building energy design: Harlequin. *Appl Energy*; 241:331–61.

Baldinelli G. (2009). Double skin façades for warm climate regions: Analysis of a solution with an integrated movable shading system. *Building and Environment*. 44(6): 1107-1118 doi:10.1016/j.buildenv.2008.08.005

Bessoudo M, Tzempelikos A, Athienitis AK, Zmeureanu R. (2010). Indoor thermal environmental conditions near glazed facades with shading devices—Part I: Experiments and building thermal model. *Building and environment*. 2010 Nov 1; 45(11): 2506-16. <https://doi.org/10.1016/j.buildenv.2010.05.013>.

Calama-Gonzalez CM, Suárez R, León-Rodríguez ÁL. (2022). Thermal comfort prediction of the existing housing stock in southern Spain through calibrated and validated parameterized simulation models. *Energy and Buildings*. Jan 1; 254: 111562.

Calixto-Aguirre I, Huelsz G, Barrios G, Cruz-Salas MV. (2021). Validation of thermal simulations of a non-air-conditioned office building in different seasonal, occupancy and ventilation conditions. *Journal of Building Engineering*. Dec 1; 44: 102922.

Carletti C, Sciarpi F, Pierangioli L, Asdrubali F, Pisello AL, Bianchi F, Sambuco S, Guattari C. (2016). Thermal and lighting effects of an external venetian blind: Experimental analysis in a full scale test room. *Building and Environment*. 2016 Sep 1; 106: 45-56. <https://doi.org/10.1016/j.buildenv.2016.06.017>.

Carlucci S, Cattarin G, Causone F, Pagliano L. (2015). Multi-objective optimization of a nearly zero-energy building based on thermal and visual discomfort minimization using a non-dominated sorting genetic algorithm (NSGA-II). *Energy Build* 2015; 104: 378–94.

Chatzikonstantinou I, Sarıyıldız S, Bittermann MS. (2015) *Conceptual airport terminal design using evolutionary computation*. In: IEEE congress on evolutionary computation; 2015. pp. 2245–52.

پی‌نوشت‌ها

1. Cooling Zone sizing.
2. Heating Zone Sizing.
3. Cooling Load.
4. Heating Load.
5. Annual Sun Exposure.
6. Special Daylight Autonomy.
7. Useful Daylight Illuminance.
8. Percent of Time Comfortable.
9. Percent of Time Too Hot.
10. Percent of Time Too Cold.

فهرست منابع

حیدری شاهین (۱۳۹۳)، سازگاری حرارتی در معماری (نخستین قدم در صرفهجویی مصرف انرژی)، چاپ اول، دانشگاه تهران، تهران.
طرح تفضیلی شیراز (۱۳۹۳)، ضوابط و مقررات شهرسازی و ساختمانی،^۳ مهندسان مشاور برنامه‌ریز، شهر ساز و معمار شهر و خانه.

ASHRAE 55-(2010): *American Society of Heating, Refrigerating and Air-Conditioning Engineers*, Atlanta. Thermal Environmental Conditions for Human Occupancy. ASHRAE 55 ASHRAE Standard 55-2010.

ASHRAE 14-(2014): *American Society of Heating, Ventilating, and Air Conditioning Engineers (ASHRAE)*. Guideline 14- Measurement of Energy and Demand Savings; Technical Report; American Society of Heating, Ventilating, and Air Conditioning Engineers: Atlanta, GA, USA, 2014.

ASHRAE 14-(2002): *American Society of Heating, Refrigeration and Air Conditioning Engineers*, ASHRAE Guideline 14- for Measurement of Energy and Demand Savings,, Atlanta, GA.

Amini R, Ghaffarianhoseini A, Ghaffarianhoseini A, Berardi U. (2021). Numerical investigation of indoor thermal comfort and air quality for a multi-purpose hall with various shading and glazing ratios. *Thermal Science and Engineering Progress*. May 1; 22: 100812.

Andelkovic AS, Mujan I, Dakić S. (2016). Experimental validation of a EnergyPlus model: Application of a multi-storey naturally ventilated double skin façade. *Energy and Buildings*. Apr 15; 118: 27-36.

Arbab M, Rahbar M, Arbab M. (2021). A Comparative Study of Artificial Intelligence Models for Predicting Interior Illumi-

- energy consumption of temporary works in building construction: A case study in Hong Kong. *Building and Environment*. Sep 1;142:171-9. <https://doi.org/10.1016/j.buildenv.2018.06.026>. <https://climatestuodocs.com/docs/daylightLEEDOpt1.html>
- Jayathissa P, Luzzatto M, Schmidli J, Hofer J, Nagy Z, Schlueter A. (2017). Optimising building net energy demand with dynamic BIPV shading. *Applied Energy*. Sep 15; 202: 726-35. <https://doi.org/10.1016/j.apenergy.2017.05.083>.
- Karaman S, Ekici B, Cubukcuoglu C, Koyunbaba BK, Kahraman I. (2017). Design of rectangular façade modules through computational intelligence. In: 2017. *IEEE Congress on Evolutionary Computation*. pp. 1021–8.
- Khoroshiltseva M, Slanzi D, Poli I. (2016). A Pareto-based multi-objective optimization algorithm to design energy-efficient shading devices. *Applied Energy*. Dec 15;184:1400-10. <https://doi.org/10.1016/j.apenergy.2016.05.015>
- Kirimtat A, Koyunbaba BK, Chatzikonstantinou I, Sarıyıldız S, Suganthan PN. (2016). Multi-objective optimization for shading devices in buildings by using evolutionary algorithms. *IEEE Congress on Evolutionary Computation (CEC)*. doi:10.1109/cec.2016.7744286
- Kirimtat A, Koyunbaba BK, Chatzikonstantinou I, Sarıyıldız S. (2015). Review of simulation modeling for shading devices in buildings. *Renew. Sustain. Energy Rev.*, vol. 53, pp. 23–49, Jan. 2016. doi: 10.1016/j.rser.2015.08.020.
- Kirimtat A, Krejcar O, Ekici B, Tasgetiren MF. (2019). Multi-objective energy and daylight optimization of amorphous shading devices in buildings. *Solar Energy*. Jun 1; 185: 100-11.
- Levy S, Steinberg DM. (2015). Computer experiments: a review. *AStA Advances in Statistical Analysis*. 2010 Dec; 94(4): 311-24. doi:10.1016/j.ress.12.002
- Lim YW, Kandar MZ, Ahmad MH, Ossen DR, Abdullah AM. (2012). Building façade design for daylighting quality in typical government office building. *Building and Environment*. 2012 Nov 1; 57: 194-204. <https://doi.org/10.1016/j.buildenv.04.015>.
- Liu S, Kwok YT, Lau KK, Chan PW, Ng E. (2019). Investigating the energy saving potential of applying shading panels on opaque façades: A case study for residential buildings in Hong Kong. *Energy and Buildings*. 2019 Jun 15; 193: 78-91. <https://doi.org/10.1016/j.enbuild.2019.03.044>.
- Loepky JL, Sacks J, Welch WJ. (2009). Choosing the sample size of a computer experiment: A practical guide. *Technometrics*. Nov 1; 51(4): 366-76. <http://dx.doi.org/10.1198/TEC.H.2009.08040>
- Mandalaki M, Zervas K, Tsoutsos T, Vazakas A. (2012). Assessment of fixed shading devices with integrated PV for efficient energy use. *Solar Energy*. Sep 1; 86(9): 2561-75. doi:10.1016/j.solener.2012.05.026
- Mangkuto RA, Feradi F, Putra RE, Atmodipoero RT, Favero F. (2018). Optimisation of daylight admission based on modifications of light shelf design parameters. *Journal of Building Engineering*, 18, 195–209. doi:10.1016/j.jobe.2018.03.007
- Mangkuto RA, Koerniawan MD, Soelami FN. (2021). Daylight Annual Illuminance Investigation in Elementary School
- Cho J, Yoo C, Kim Y. (2014). Viability of exterior shading devices for high-rise residential buildings: Case study for cooling energy saving and economic feasibility analysis. *Energy and Buildings*. 2014 Oct 1;82:771-85.
- Chollet F. Keras [WWW Document]. GitHub. URL <https://github.com/fchollet/keras>. 2015.
- Chua KJ, Chou SK. (2010). *Evaluating the performance of shading devices and glazing types to promote energy efficiency of residential buildings*. In *Building Simulation*. Sep (Vol. 3, No. 3, pp. 181-194). Springer Berlin Heidelberg. <https://doi.org/10.1007/s12273-010-0007-2>.
- Ciro GC, Dugardin F, Yalaoui F, Kelly R. (2016). A NSGA-II and NSGA-III comparison for solving an open shop scheduling problem with resource constraints. *IFAC-PapersOnLine* 2016; 49(12): 1272-7.
- Coakley D, Raftery P, Molloy P. (2012). Calibration of whole building energy simulation models: detailed case study of a naturally ventilated building using hourly measured data, *Proceedings First Building Simulation and Optimization Conference*. 57–64.
- Da Fonseca RW, Didoné EL, Pereira FO. (2013). Using artificial neural networks to predict the impact of daylighting on building final electric energy requirements. *Energy and Buildings*. 2013 Jun 1; 61: 31-8. doi: 10.1016/j.enbuild..02.009.
- Dahanayake KK, Chow CL. (2016). Studying the potential of energy saving through vertical greenery systems: Using EnergyPlus simulation program. *Energy and Buildings*. 2017 Mar 1; 138: 47-59. doi:10.1016/j.enbuild.12.002.
- Deb K, Jain H. (2013). An evolutionary many-objective optimization algorithm using reference-point-based nondominated sorting approach, part I: solving problems with box constraints. *IEEE Trans Evol Comput*; 18(4): 577–601.
- Deb K, Pratap A, Agarwal S, Meyarivan T. (2002). A fast and elitist multiobjective genetic algorithm: NSGA-II. *IEEE Trans Evol Comput*; 6(2): 182–97.
- Eltawee A, Su Y. (2017). Controlling venetian blinds based on parametric design; via implementing Grasshopper's plugins: A case study of an office building in Cairo. *Energy and Buildings*, 139, 31–43. doi:10.1016/j.enbuild.2016.12.075
- Emmerich MT, Deutz AH. (2018). A tutorial on multiobjective optimization: fundamentals and evolutionary methods. *Nat Comput*; 17(3): 585–609.
- Fang Y, Cho S. (2019). Design optimization of building geometry and fenestration for daylighting and energy performance. *Solar Energy*. 2019 Oct 1; 191: 7-18. doi: 10.1016/j.solener.2019.08.039.
- Hall MR. (2010). *Materials for Energy Efficiency and Thermal Comfort in Buildings*. Woodhead Publishing Series in Energy, eBook ISBN: 9781845699277.
- Hashemi N, Fayaz R, Sarshar M. (2010). Thermal behaviour of a ventilated double skin facade in hot arid climate. *Energy and Buildings*. Volume 42, Issue 10, pp. 1823-1832, ISSN 0378-7788. <https://doi.org/10.1016/j.enbuild.2010.05.019>.
- Hossain MU, Poon CS. (2018). Global warming potential and

- Sghouri H, Mezrhab A, Karkri M, Naji H. (2018). Shading devices optimization to enhance thermal comfort and energy performance of a residential building in Morocco. *Journal of Building Engineering*. Jul 1;18:292-302.
- Sherif A, El-Zafarany A, Arafa R.(2012) External perforated window Solar Screens: The effect of screen depth and perforation ratio on energy performance in extreme desert environments. *Energy and Buildings*, 52, pp. 1-10. doi:10.1016/j.enbuild.2012.05.025
- Sima E, Chagolla-Aranda MA, Huelsz G, Tovar R, Alvarez G.(2015) Tree and neighboring buildings shading effects on the thermal performance of a house in a warm sub-humid climate. *Building Simulation*, 8(6): 711–723. doi:10.1007/s12273-015-0247-2
- Singh R, Lazarus IJ, Kishore VV.(2016) Uncertainty and sensitivity analyses of energy and visual performances of office building with external venetian blind shading in hot-dry climate. *Applied Energy*. 2016 Dec 15;184:155-70. doi:10.1016/j.apenergy..10.007
- Stazi F, Marinelli S, Di Perna C, Munafò P. (2014). Comparison on solar shadings: Monitoring of the thermo-physical behaviour, assessment of the energy saving, thermal comfort, natural lighting and environmental impact. *Solar Energy*. 2014 Jul 1; 105: 512-28. doi:10.1016/j.solener.2014.04.005
- Szandala T. (2021). *Review and comparison of commonly used activation functions for deep neural networks*. InBio-inspired neurocomputing (pp. 203-224). Springer, Singapore.
- Tabadkani A, Valinejad Shoubi M, Soflaei F, Banihashemi S.(2019) Integrated parametric design of adaptive facades for user's visual comfort, *Automation in Construction*, Volume 106, 102857, ISSN 0926-5805, <https://doi.org/10.1016/j.autcon.2019.102857>.
- Taveres-Cachat E, Lobaccaro G, Goia F, Chaudhary G. A. (2019). methodology to improve the performance of PV integrated shading devices using multi-objective optimization. *Applied energy*. Aug 1; 247: 731-44. <https://doi.org/10.1016/j.apenergy.2019.04.033>.
- TensorFlow Team. TensorFlow: (2015) *Large-scale machine learning on heterogeneous systems*.
- Tian W, Heo Y, De Wilde P, Li Z, Yan D, Park CS, Feng X, Augenbroe G. (2018). A review of uncertainty analysis in building energy assessment. *Renewable and Sustainable Energy Reviews*. Oct 1; 93: 285-301. doi:10.1016/j.rser.2018.05.029
- Toutou A, Fikry M, Mohamed W (2018). The parametric based optimization framework daylighting and energy performance in residential buildings in hot arid zone. *Alexandria engineering journal*. Dec 1; 57(4): 3595-608.
- Valladares-Rendon LG, Lo SL.(2014) *Passive shading strategies to reduce outdoor insolation and indoor cooling loads by using overhang devices on a building*. InBuilding Simulation Dec (Vol. 7, No. 6, pp. 671-681). Springer Berlin Heidelberg. doi: 10.1007/s12273-014-0182-7
- Valladares-Rendon LG, Schmid G, Lo SL.(2017) Review on energy savings by solar control techniques and optimal building Classrooms for the Tropic of Lhokseumawe, Indonesia. *Journal of Applied Science and Engineering*. Jul;25(1):129-39.
- Manzan M, Clarich A. (2017). FAST energy and daylight optimization of an office with fixed and movable shading devices. *Building and Environment*. Feb 15;113:175-84.<https://doi.org/10.1016/j.buildenv.2016.09.035>.
- Marszal AJ, Heiselberg P, Bourrelle JS, Musall E, Voss K, Sartori I. (2011). Napolitano A. Zero Energy Building – A review of definitions and calculation methodologies, *Energy and Buildings*, Volume 43, Issue 4, Pages 971-979, ISSN 0378-7788. <https://doi.org/10.1016/j.enbuild.2010.12.022>.
- Naderi E, Sajadi B, Behabadi MA, Naderi E. (2020). Multi-objective simulation-based optimization of controlled blind specifications to reduce energy consumption, and thermal and visual discomfort: Case studies in Iran. *Building and Environment*. Feb 1; 169: 106570. <https://doi.org/10.1016/j.buildenv.2019.106570>.
- Pal SK, Takano A, Alanne K, Siren K. (2017). A life cycle approach to optimizing carbon footprint and costs of a residential building. *Building and Environment*, 123, 146–162. <https://doi.org/10.1016/j.buildenv..06.051>.
- Park JH, Yun BY, Chang SJ, Wi S, Jeon J, Kim S. (2020). Impact of a passive retrofit shading system on educational building to improve thermal comfort and energy consumption. *Energy and Buildings*. 2020 Jun 1; 216:109930. <https://doi.org/10.1016/j.enbuild.109930>.
- Pulido-Arcas JA, Rubio-Bellido C, Perez-Fargallo A, Oropesa-Perez I. (2020). *Zero-Energy Buildings - New Approaches and Technologies*, Net-Zero Energy Buildings: Principles and Applications (chapter 4). ISBN: 978-1-78985-246-2. doi:10.5772/intechopen.87727
- Ramos Ruiz G, Fernandez Bandera C. (2017). Validation of calibrated energy models: Common errors. *Energies*. Oct 12; 10(10): 1587. doi:10.3390/en10101587
- Razmi A, Rahbar M, Bemanian M. (2021). PCA-ANN integrated NSGA-III framework for dormitory building design optimization: Energy efficiency, daylight, and thermal comfort. *Appl. Energy*, vol. 305, no. September 2021, p. 117828, Jan. 2022, doi: 10.1016/j.apenergy.2021.117828.
- Salam A, El Hibaoui A, Saif A. (2021). A comparison of activation functions in multilayer neural network for predicting the production and consumption of electricity power. *International Journal of Electrical and Computer Engineering (IJECE)*. Feb 1; 11(1): 163-70.
- Samadi S, Noorzai E, Beltrán LO, Abbasi S.(2020) A computational approach for achieving optimum daylight inside buildings through automated kinetic shading systems. *Frontiers of Architectural Research*. Jun 1; 9(2): 335-49. <https://doi.org/10.1016/j.foar.2019.10.004>.
- Sang Y, Zhao JR, Sun J, Chen B, Liu S. (2017). Experimental investigation and EnergyPlus-based model prediction of thermal behavior of building containing phase change material. *Journal of Building Engineering*. Jul 1; 12: 259-66. doi:10.1016/j.jobe.2017.06.011

سازگاری حرارتی به عنوان شاخص نهایی سنجش کیفیت سایه‌اندازی
سایبان‌های خارجی نمونه مورد مطالعه: ساختمان مسکونی در شیراز

ment. Jun 1; 156: 178-90.

Yufka M, Ekici B, Cubukcuoglu C. (2017). Chatzikonstantinou I, Sariyildiz IS. Multi-Objective skylight optimization for a healthcare facility foyer space. In: 2017. *IEEE congress on evolutionary computation*. pp. 1008–14.

Zhang F, Cheng L, Wu M, Xu X, Wang P, Liu Z. (2020). Performance analysis of two-stage thermoelectric generator model based on Latin hypercube sampling. *Energy Conversion and Management*. 2020 Oct 1; 221: 113159. doi:10.1016/j.enconman..113159

Zhao J, Du Y. (2020). Multi-objective optimization design for windows and shading configuration considering energy consumption and thermal comfort: A case study for office building in different climatic regions of China. *Solar Energy*. Aug 1; 206:997-1017. https://doi.org/10.1016/j.solener.2020.05.090

orientation for the strategic placement of façade shading systems. *Energy and Buildings*. 2017 Apr 1; 140: 458-79. <https://doi.org/10.1016/j.enbuild.2016.12.073>.

Viana FA. (2016). A tutorial on Latin hypercube design of experiments. *Quality and Reliability Engineering International*. Jul; 32(5): 1975-85. doi:10.1002/qre.1924

Wagdy A, Fathy F, Altomonte S. (2016). Evaluating the day-lighting performance of dynamic façades by using new annual climate-based metrics. *PLEA (the 32nd Int. Conf. Passiv. Low Energy Archit.)*, no. July, pp. 941–947, 2016.

Yeon S, Yu B, Seo B, Yoon Y, Lee KH. (2019). ANN based automatic slat angle control of venetian blind for minimized total load in an office building. *Sol. Energy*, vol. 180, no. January, pp. 133–145, 2019, doi: 10.1016/j.solener.01.027.

Yi YK. (2019). Building facade multi-objective optimization for daylight and aesthetical perception. *Building and Environment*



Adaptive Thermal Comfort as the Final Metric for Evaluating the Quality of the Exterior Shading on Building Envelopes; Case Study: A Residential Building in Shiraz, Iran*

*Niloofar Hashemi¹, Shahin Heidari^{**2}, Morteza Rahbar³*

¹Phd Candidate of Architecture, Department of Architecture, Kish International Campus, University of Tehran, Kish, Iran.

²Professor, Department of Architecture, School of Architecture, College of Fine Arts, University of Tehran, Tehran, Iran.

³Assistant Professor, Faculty of Architecture and Urban Planning, Iran University of Science and Technology, Tehran, Iran.

(Received: 12 May 2022, Accepted: 23 Aug 2022)

One of the main problems in the world is global warming, which is caused by the building sector and carbon emissions. Researchers have come to the conclusion that managing and reducing building energy consumptions and promoting sustainable building practices are crucial. Particularly in hot areas, exterior shading devices are one of the most significant and useful criteria for sustainable passive architecture design. They can have an impact on managing the building's energy resources, including thermal load, daylight, and adaptive thermal comfort. The application of the shadings is highly effective when shading design parameters have carefully and accurately been studied and designed because an inefficient shading device can easily increase the thermal load and create glare or darkness at the same time, or while keeping daylight indicators within the standard range, increase energy consumptions. Although many studies have investigated the design parameters of exterior shading devices including dimensions, materials, and the location of installation through optimization methods, it seems that none of the researches have considered the effect of shade quality on building performances. To investigate the quality of shading, through field measurement in a residential building in Shiraz, Iran, a model was simulated and validated and then a novel parametric exterior fixed shading device added to the model was created in grasshopper plugin which was able to produce a variety range of shadings. A large dataset of 13600 samples of the parametric shading was produced by applying the LHS technique, which created an outspread community of shading samples and executed the energy simulation for each sample. Then this large data set was used to train and test an Artificial Neural Network (ANN). This ANN was applied as a fast emulator and the searching space for multi-objective optimization through NSGA_III algorithm. The major goals in the optimization process are considered to be the least cooling and heating load, the minimum annual sun ex-

posure (ASE), the maximum spatial daylight autonomy (sDA), and the minimum useful daylight illumination (UDI). These five functions are considered as independent variables. Finally, using an adaptive thermal comfort model, the Pareto front solutions have been categorized based on the Percent of Time Comfortable (PTC). This classification clearly demonstrates that although the optimized shading devices can keep the daylight standard indicators (ASE, sDA, and UDI) within acceptable ranges and reduce the cooling load from 53% to 73% and the heating load by from 8% to 10%, the values of PTC could vary by as much as 33.3% (i.e. 4 months of the year) to 66.67% (i.e. 8 months of the year). This range in PTC value is significant because, although certain optimal shading devices can maintain the PTC in interior spaces at 33.3%, other cases with the same rate of energy saving and daylight standard indicators can raise the PTC value to 66.67%. Therefore, this paper introduces the PTC in adaptive thermal comfort model as a new metric for evaluating the quality of the shading produced by any shading device types.

Keywords

Parametric Shading Devices, Latin Hypercube Sampling Technique, Artificial Neural Network, Multi-Objective Optimization, Adaptive Thermal Comfort.

*This article is extracted from the first author's doctoral dissertation, entitled: "The impact of exterior shading on the building energy performance; with the approach of artificial intelligent in the city of Shiraz" under the supervision of the second and third authors.

**Corresponding Author: Tel: (+98-021) 61112496, Fax: (+98-021) 66490161, E-mail: shheidari@ut.ac.ir.